

Fig. 1

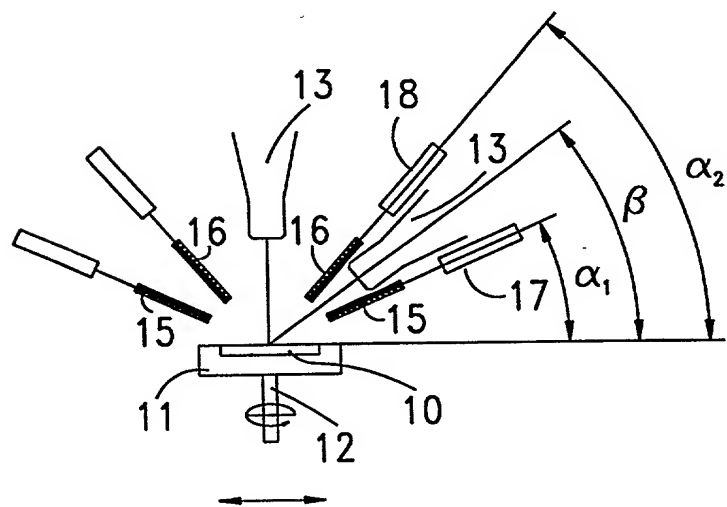


Fig. 2

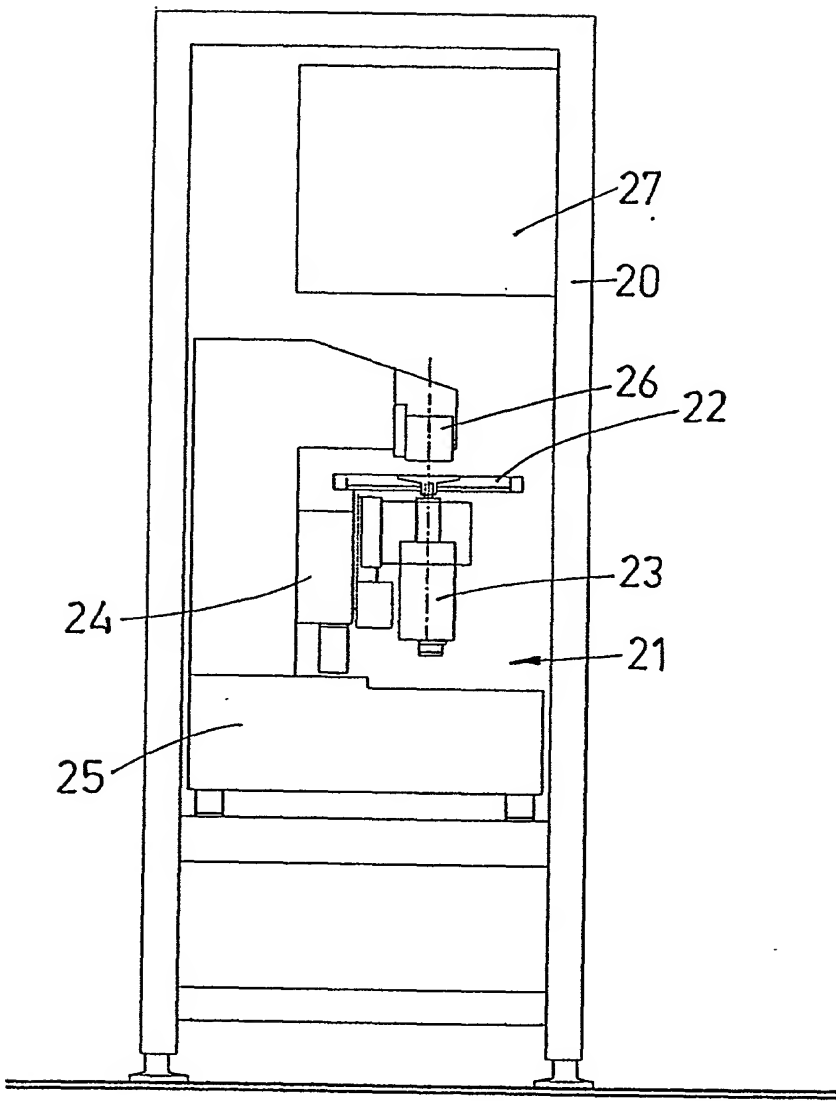


Fig. 3

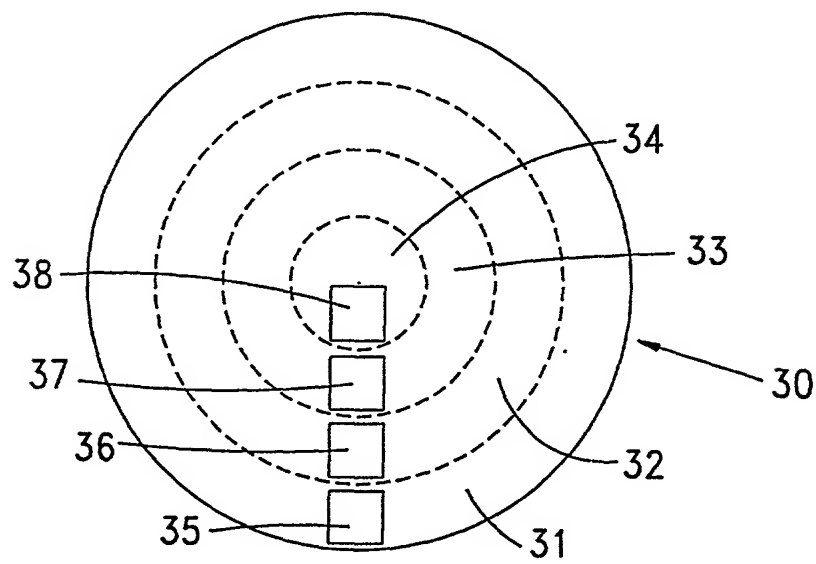


Fig. 4

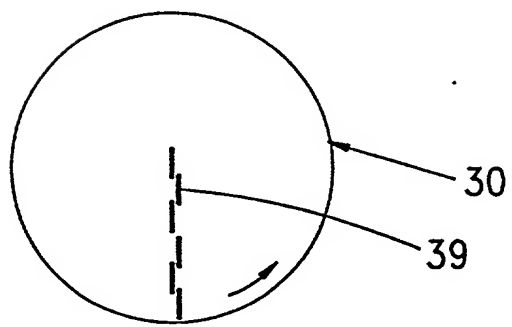


Fig. 5

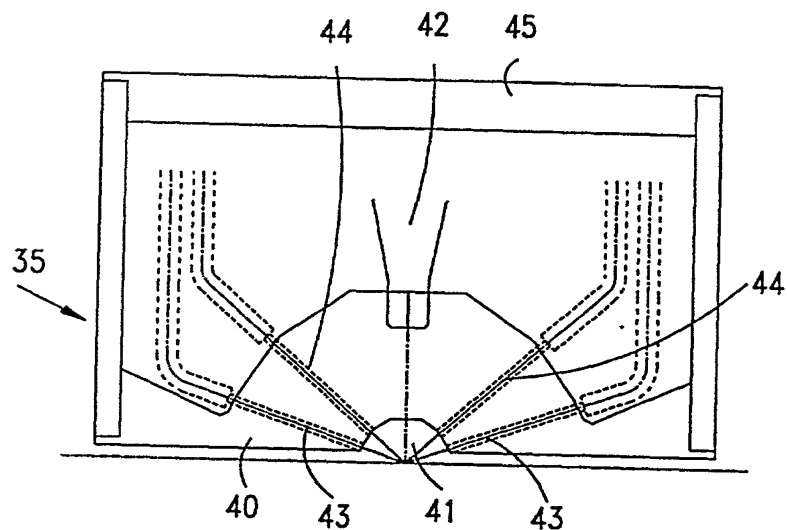


Fig. 6a

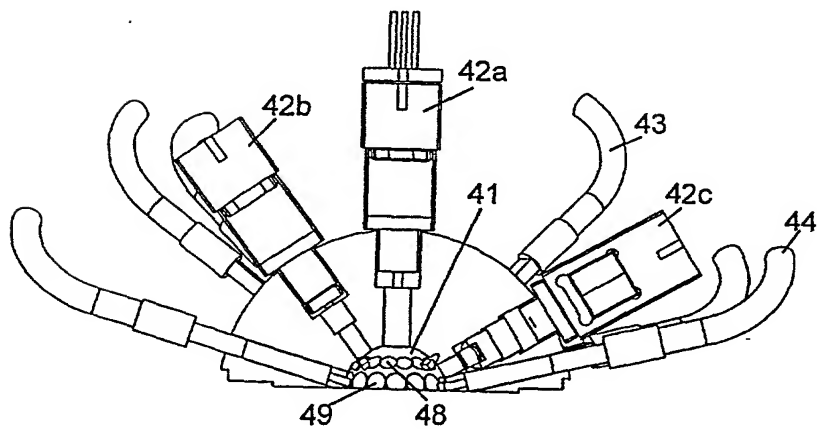


Fig. 6b

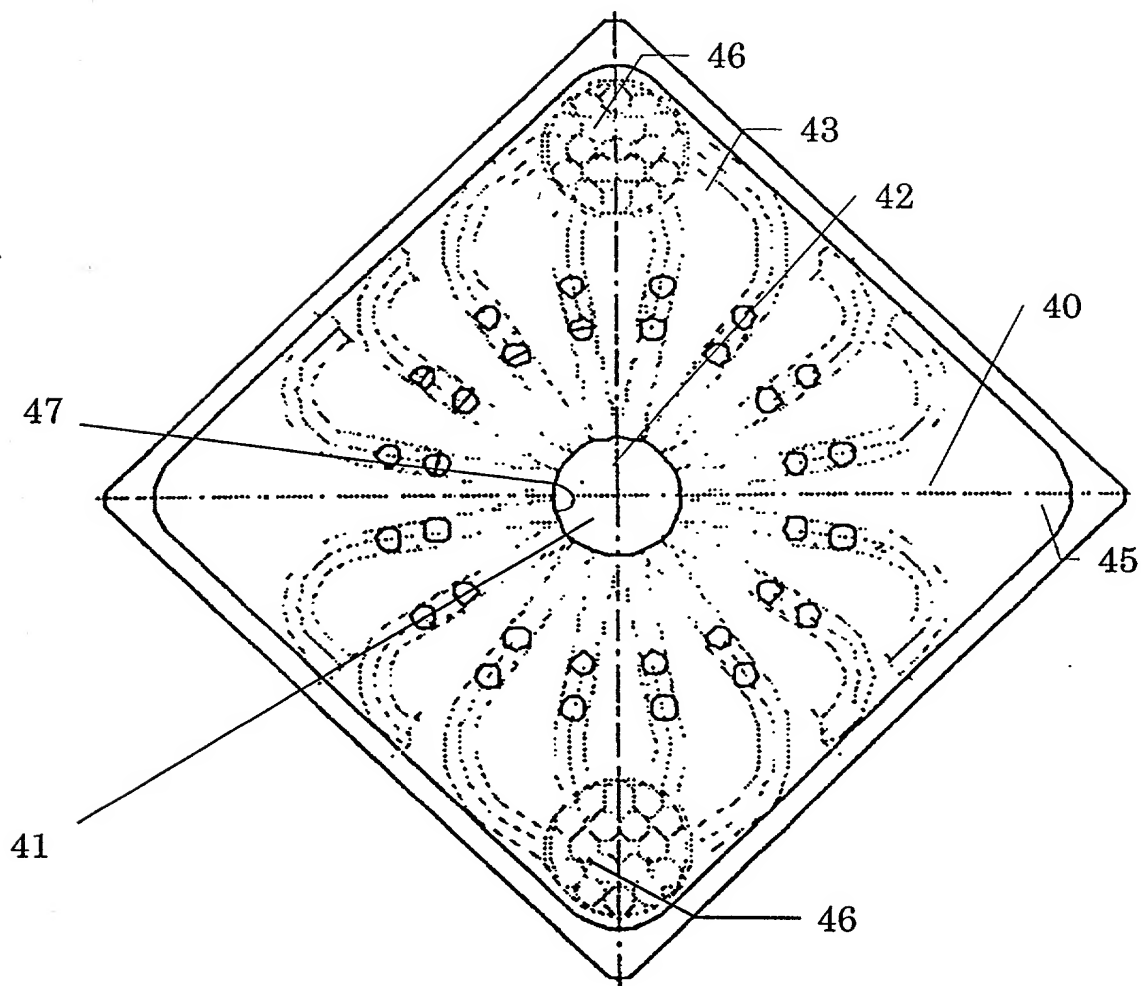


Fig. 7

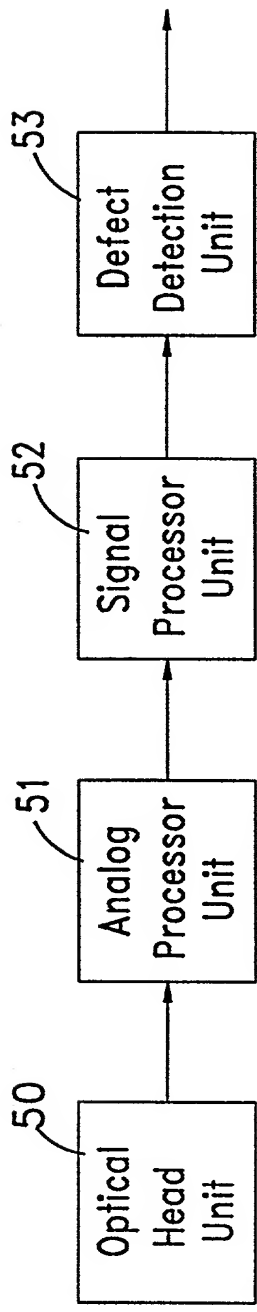


Fig. 8

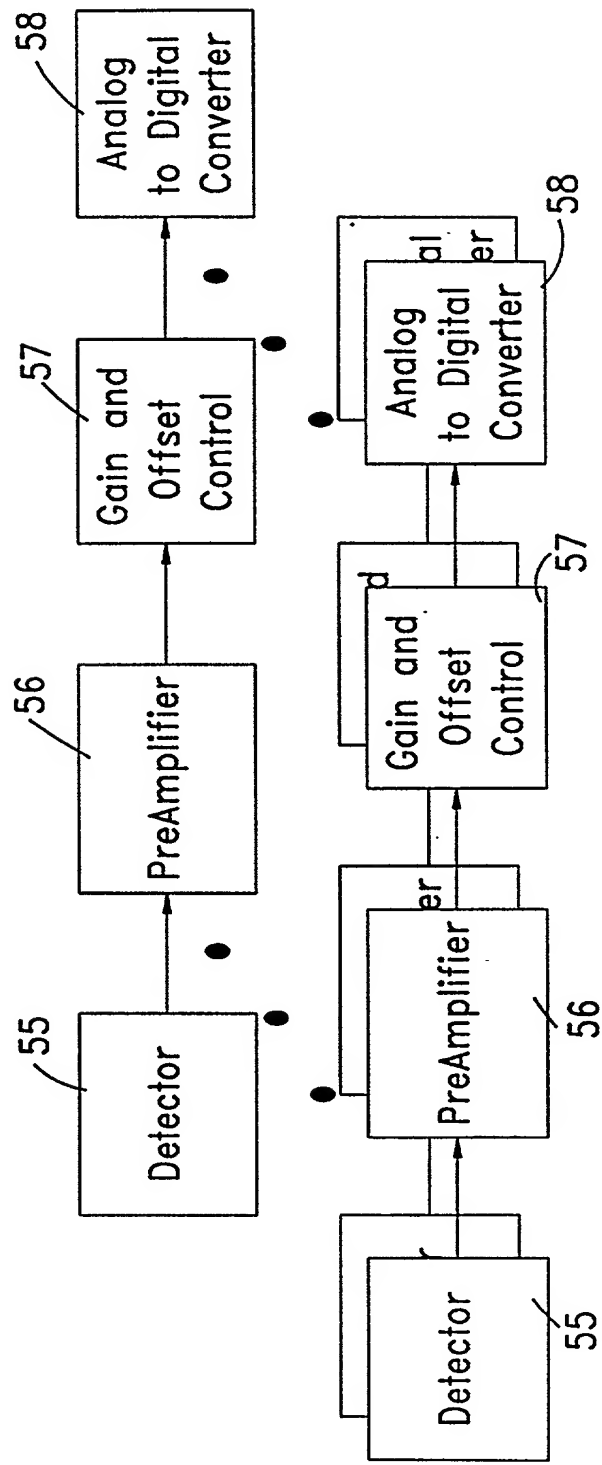


Fig. 9

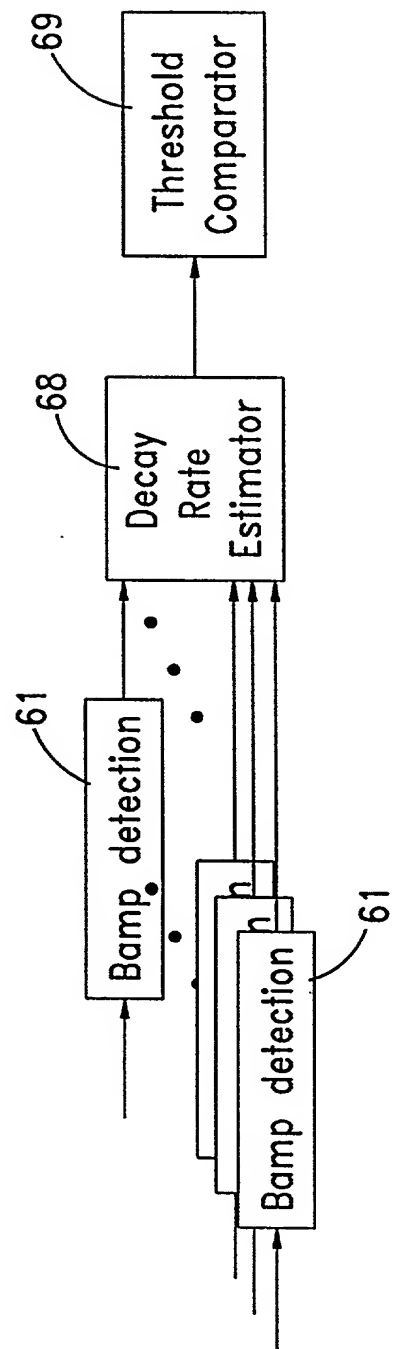


Fig. 10

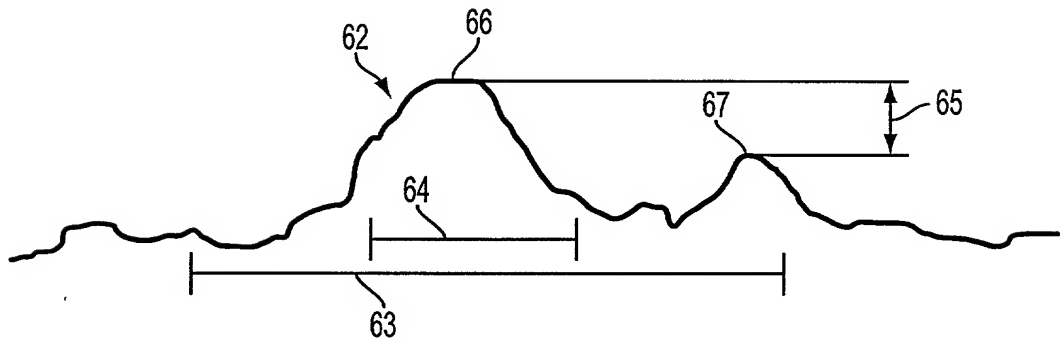


FIG. 11

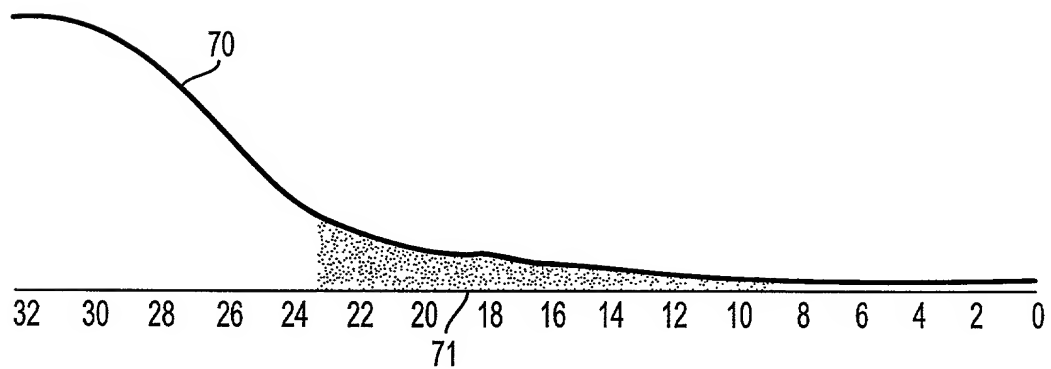


FIG. 12

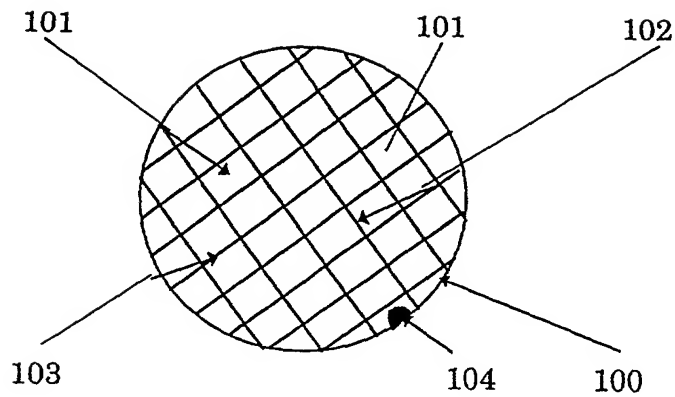


Fig. 13

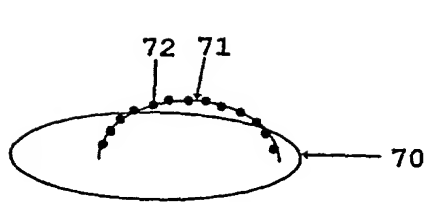


Fig. 14(a)

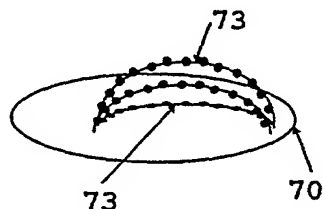


Fig. 14(b)

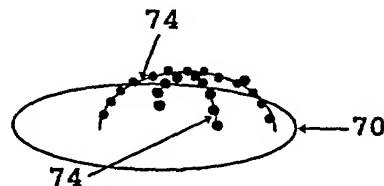


Fig. 14(c)

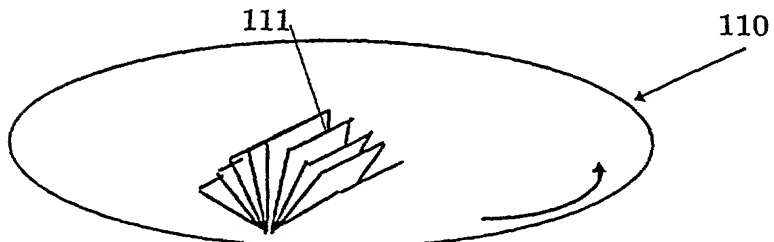


Fig. 15

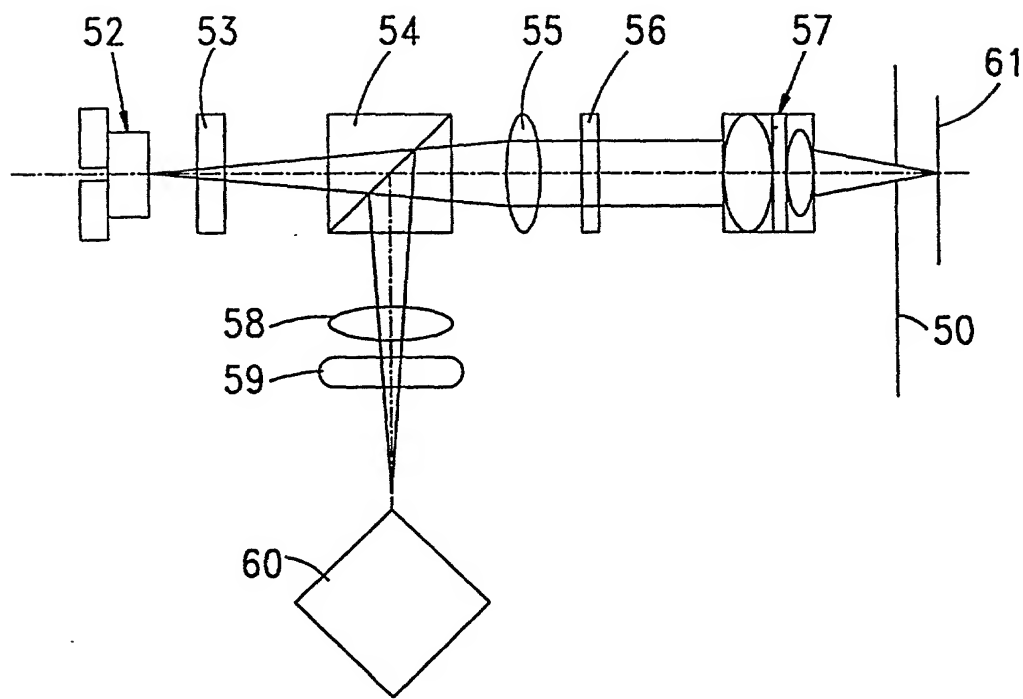


Fig. 16

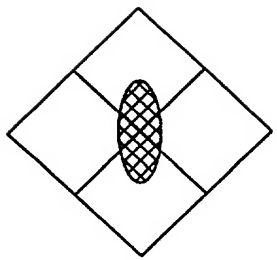


Fig. 17(a)

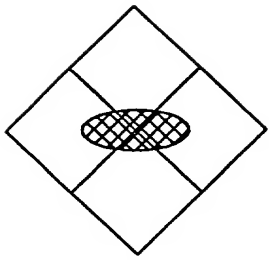


Fig. 17(b)

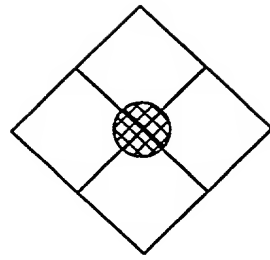
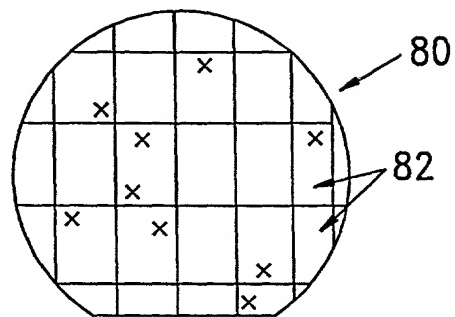


Fig. 17(c)



\Downarrow
 (r_i, θ_i)

\Downarrow
 (x_i, y_i)

\Downarrow
 $(x_{k,j}, y_{k,j})$

\Downarrow

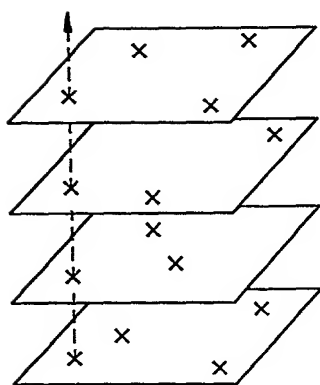


Fig. 18